

Величины P_{AO_2} , P_{aO_2} , P_{ACO_2}
мышечной нагрузки 1,22
(3, 12 мин) при дыхании
с 13,5 % O_2

УДК 612.235

В. П. Низовцев, Л. Ф. Зварич

ОЦЕНКА ЭФФЕКТИВНОСТИ ВНУТРИЛЕГОЧНОГО ГАЗООБМЕНА ПРИ МЫШЕЧНОЙ РАБОТЕ В УСЛОВИЯХ ГИПОКСИЧЕСКОЙ ГИПОКСИИ

Оценка процессов внутрилегочного газообмена, особенно в условиях функционального напряжения организма и быстро меняющейся газовой среды, встречает ряд чисто методических трудностей. Имеющиеся физиологические данные по этому вопросу недостаточны и крайне противоречивы. Основной методической трудностью при таких исследованиях является необходимость определения насыщения артериальной крови кислородом (S_{AO_2}) и показателей, характеризующих разные стороны самого процесса оксигенации крови в легких и его эффективность на разных этапах мышечной работы и смены газового состава выдыхаемого воздуха.

Методика. Оксигенацию крови в легких оценивали по напряжению кислорода (P_{AO_2}) и углекислоты (P_{ACO_2}) в артериализированной капиллярной крови с помощью специальных номограмм [3]. Отбор артериализированной капиллярной крови производили в ходе функциональных исследований в тонкие гепаринизированные трубочки. Величину P_{AO_2} определяли электродом Кларка, а P_{ACO_2} — по методике Зиггаарда — Андерсена и контролировали напряжением CO_2 в альвеолярном воздухе. В альвеолярном воздухе напряжение CO_2 (P_{ACO_2}) и O_2 (P_{AO_2}) определяли по методу Холденна — Пристли под контролем кривой дыхания системой двух шлангов [2]. Мышечную работу в наших исследованиях (1,22 Вт/кг) осуществляли на протяжении 14 мин. Гипоксическую гипоксию создавали посредством вдыхания газовой смеси с 13,5 % O_2 . Исследованиям предшествовала 12—18 мин адаптация к гипоксической смеси. Альвеолярный воздух и пробы артериализированной капиллярной крови для анализов отбирали в покое, на 3, 12 мин мышечной нагрузки и на 3, 12 мин восстановительного периода. Контролем являлись исследования в условиях дыхания воздухом.

Результаты. Как видно из таблицы, выполнение мышечной работы порядка 1,22 Вт/кг в условиях дыхания воздухом приводит к снижению оксигенации крови до 89,5 %. При той же работе в условиях дыхания гипоксической смесью оксигенация крови понижалась до 82,5 %. Одновременно наблюдалось существенное снижение альвеоло-артериального градиента парциального давления кислорода (ΔP_{AO_2}) с 31 до 9 гПа (с 23,4 до 6,5 мм рт. ст.). При мышечной работе наблюдалось снижение P_{ACO_2} с 53,3 до 47,2 гПа (с 40 до 35,5 мм рт. ст.). Переход на гипоксическую смесь сопровождался появлением уже в покое стойкой гипокапии, которая сохранялась до конца мышечной работы. Уровень альвеолярного P_{O_2} при работе в условиях гипоксии снизился до 85 гПа (64,0 мм рт. ст.), а артериального P_{O_2} — до 75 гПа (57,5 мм рт. ст.). В условиях дыхания воздухом эти величины составляли соответственно 134 и 102 гПа (101 и 76,6 мм рт. ст.).

Анализ разрозненного цифрового материала, приведенного в таблице, встречает определенные затруднения, поэтому для более наглядной интегральной оценки показателей, отражающих сдвиги в легочном газообмене, вызванные мышечной работой и изменением состава выдыхаемого воздуха, мы использовали два метода графического анализа по-

Условия	Время, мин	P (д)
Покой	—	
Мышечная работа	3	
14 мин	12	
Восстановление	3	12
Покой	—	
Мышечная работа	3	
14 мин	12	
Восстановление	3	12

лученных данных путем (P_{ACO_2}) и к P_{AO_2} в системе, работанные нами номог

По нашему мнению, существенный недостаток, п. номограмм, не позволяющий даемые смещения точек P_{AO_2} или также от понижения артериальной крови. По П. Садула введением по в артериальной крови, номограмму для анализа газообмена при синтетическими смесями.

Как видно из рис. 1 время мышечной работы в условиях существенно меньшие приспособительные сдвиги в вентиляционно-перфузационные процессы выполнение мышечной работы смещением точек S_{AO_2} в капиллярах. При этом насыщение кровью, которое при работе — даже на 4 %. Естественно, что быстрее нормализовалось. Обнаруженная тенденция, в свою очередь, определялась уменьшением концентрации кислорода в крови, которое при работе до 102 Па или с 92 до 85 Па падение S_{AO_2} во время

Величины P_{AO_2} , P_{aO_2} , P_{aCO_2} (P_{ACO_2}), ΔP_{AaO_2} и S_{aO_2} в покое, на 3, 12 мин мышечной нагрузки 1,22 Вт/кг массы тела и во восстановительном периоде (3, 12 мин) при дыхании воздухом (контроль) и гипоксической смесью с 13,5 % O_2 (опыт) у здоровых лиц (средние данные)

Условия	Время, мин	P_{AO_2} , гПа (мм. рт. ст.)	P_{aO_2} , гПа (мм. рт. ст.)	P_{aCO_2} , (P_{ACO_2}), гПа (мм. рт. ст.)	S_{aO_2} , % по [3]	P_{AaO_2} , гПа (мм. рт. ст.)
Контроль						
Покой	—	143 (107,8)	122 (91,8)	53,3 (40,0)	93,3	21 (16,0)
Мышечная работа	3	142 (106,7)	109 (82,4)	50,0 (37,5)	91,4	32 (24,3)
14 мин	12	134 (101,0)	102 (76,6)	47,2 (35,5)	89,5	31 (23,4)
Восстановление	3	138 (103,8)	112 (84,5)	48 (36,6)	91,9	25 (19,3)
	12	143 (107,5)	124 (93,0)	52 (39,2)	93,8	19 (14,5)
Опыт						
Покой	—	101 (75,7)	93 (69,8)	40 (30,2)	89,0	8 (5,9)
Мышечная работа	3	90,6 (68,0)	78 (58,8)	42 (31,8)	83,2	12 (9,2)
14 мин	12	85 (64,0)	76 (57,5)	44 (32,8)	82,5	8,6 (6,5)
Восстановление	3	94 (71,0)	86 (65,0)	39 (29,7)	87,0	8,0 (6,0)
	12	102 (76,8)	90,1 (68,4)	38 (28,8)	88,5	12 (8,4)

лученных данных путем нахождения точек S_{aO_2} , отнесенных к P_{aCO_2} (P_{ACO_2}) и к P_{AO_2} в системе координат — метод П. Садуля [10], и разработанные нами номограммы.

По нашему мнению, номограммы П. Садуля имеют весьма существенный недостаток, поскольку принцип, положенный в основу этих номограмм, не позволяет ответить на вопрос, отчего зависят наблюдаемые смещения точек S_{aO_2} — только ли от гиперкапнического факто-ра или также от понижения или повышения напряжения кислорода артериальной крови. Поэтому мы существенно дополнили номограмму П. Садуля введением показателей, отражающих напряжение кислорода в артериальной крови, и использовали такую модифицированную номограмму для анализа наших данных, характеризующих состояние легочного газообмена при мышечной работе в условиях дыхания гипоксическими смесями.

Как видно из рис. 1, положение точек S_{aO_2} в системе координат во время мышечной работы и особенно при работе в гипоксических условиях существенно меняется, что отражает сложные компенсаторно-приспособительные сдвиги, возникающие в легочном кровообращении, в вентиляционно-перфузионных отношениях, в условиях, определяющих диффузионные процессы в области альвеолярных мембран и др. Так, выполнение мышечной работы при дыхании воздухом сопровождалось смещением точек S_{aO_2} в системе координат вправо и вниз в зону гипокапнии. При этом насыщение крови кислородом не повышалось, как следовало ожидать, а наоборот, понижалось на 2,5 %, а к концу работы — даже на 4 %. В восстановительном периоде насыщение крови быстро нормализовалось, точка S_{aO_2} вернулась в исходное положение. Обнаруженная тенденция к смещению точек S_{aO_2} в данном случае целиком определялась уменьшением напряжения кислорода в артериальной крови, которое при мышечной работе падало максимально (с 122 до 102 Па или с 92 до 77 мм рт. ст.). Именно снижение P_{AO_2} определяло падение S_{aO_2} во время мышечной работы, появление же гипокап-

нического сдвига не могло повлиять существенно на величину S_{aO_2} . При выполнении мышечной работы в условиях дыхания гипоксической смесью отмечалась еще более выраженная тенденция к смещению всех точек S_{aO_2} вниз и вправо, S_{aO_2} снижалось с 89 до 83 %, P_{aO_2} уменьшалось с 83 до 76 гПа (или с 70 до 57 мм рт. ст.). Артериальная гипоксия полностью перекрывала действие на величину S_{aO_2} гипокапния (снижение P_{aCO_2} с 53 до 44 Па или с 40 до 33 мм рт. ст.)

Нужно сказать, что анализ эффективности внутрилегочного газообмена с помощью приведенных выше номограмм не может полностью удовлетворить исследователя, так как в них не находят количествен-

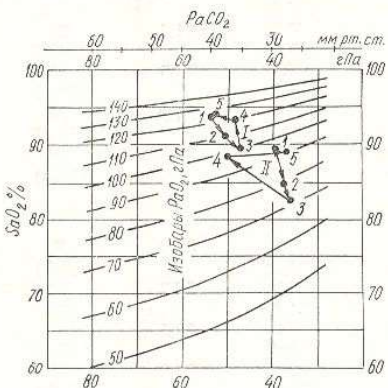


Рис. 1. Графическая оценка эффективности внутрилегочного газообмена с помощью модифицированных номограмм Садуля, отражающих взаимоотношения S_{aO_2} , P_{aCO_2} и P_{aO_2} в покое, при мышечной работе мощностью 1,22 Вт/кг и в восстановительном периоде в условиях дыхания воздухом ($P_{O_2} = 211$ гПа или 159 мм рт. ст.) и гипоксической смесью ($P_{O_2} = 133$ гПа, или 100 мм рт. ст.).

Точки S_{aO_2} , отнесенные к P_{aCO_2} и P_{aO_2} :
I — в покое; 2 — на 3-й, 3 — на 12-й мин мышечной работы; 4 — на 3-й, 5 — на 12-й мин восстановления.
II — дыхание воздухом, III — дыхание гипоксической смесью. Средние данные.

ное отражение изменения уровня альвеолярной вентиляции и отсутствует такой важный показатель, как величина альвеоло-артериального градиента по кислороду (ΔP_{aAO_2}). В этом отношении определенные преимущества имеет разработанный нами ранее [2, 3] метод построения кривых связывания гемоглобина с кислородом в целостном организме в условиях снижения P_{O_2} во вдыхаемом воздухе.

Использованный для анализа газообмена в легких метод аналогичен методу построения кривых диссоциации оксигемоглобина Баркрофта, разработанному для условий *in vitro*. Кривые связывания Hb с O_2 в легких и кривые Баркрофта можно располагать на одном графике и рассматривать кривые Баркрофта как идеальные, когда процесс оксигенации крови в легких протекает без каких-либо препятствий и P_{O_2} (P_{aO_2}) автоматически приравнивается к P_{AO_2} ($\Delta P_{aAO_2} = 0$). В отличие от кривых Баркрофта, кривые связывания гемоглобина с кислородом в легких относятся к условиям целостного организма, где на оксигенацию крови действует много отягощающих факторов. Поэтому наши кривые (или отдельные ее точки) всегда оказываются смещенными вниз и вправо по отношению к кривым Баркрофта и тем больше, чем больше ΔP_{aAO_2} . Достоинством данного метода является то, что сопоставление величины S_{aO_2} и P_{aO_2} автоматически исключает маскирующее влияние на S_{aO_2} изменений уровня альвеолярной вентиляции (например, при исследованиях S_{aO_2} у больных с компенсаторной гипервентиляцией).

Метод применялся в наших исследованиях эффективности внутрилегочного газообмена с 1961 г. В своем первоначальном виде он представлял собой в высшей степени трудоемкое исследование, так как требовал прямых определений S_{aO_2} , невозможных без пункции артерии и анализа артериальной крови на аппарате Ван-Слайка. Кроме того, метод был приемлем лишь для условий покоя. Разработанные нами номограммы для расчета S_{aO_2} , по величинам P_{aCO_2} и P_{aO_2} (рис. 2, слева) резко упрощают процесс определения S_{aO_2} и делают методику построения кривых связывания с кислородом в легких более динамичной и легко доступной для клинических и экспериментальных условий.

На рис. 2 (справа) веденных в таблице, путем с учетом величины P_{aCO_2} дыхании воздухом и гипоксии, точки связывания в условиях дыхания воздухом идеальных кривых связывания

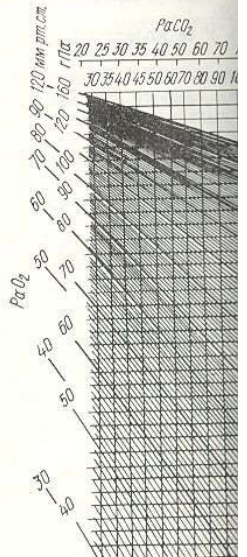


Рис. 2. Номограмма для внутрилегочного газообмена отношения S_{aO_2} и P_{aO_2} в восстановительном периоде (159 мм рт. ст.) и гипоксической смесью Баркрофта, построенные для Точки S_{aO_2} , отнесенные к P_{aO_2} , на 3-й, 3 — на 12-й мин мышечной работы воздухом,

вает на существенное обмена. При дыхании лись влево и вниз и связывания гемоглобина, соответствующая тенденция точек к смещению вправо по отношению к кривым Баркрофта, наоборот, смещение т.к. улучшение эффективности ΔP_{aAO_2} (рис. 2). Сочетание внутрилегочного газообмена с преимуществом, что данная кривая связывания

Представляется т. критерия внутрилегочного газообмена. Этот показатель присутствует и вносит значимость данного показателя в графике. Сопоставление величинам, во от кривых Баркрофта, наоборот, смещение т.к. улучшение эффективности ΔP_{aAO_2} (рис. 2). Сочетание внутрилегочного газообмена с преимуществом, что данная кривая связывания

На рис. 2 (справа) представлен графический анализ данных, приведенных в таблице, путем нахождения точек S_{aO_2} , отнесенных к P_{AO_2} , с учетом величины P_{aco_2} (P_{aco_2}) в разные фазы мышечной работы при дыхании воздухом и гипоксической газовой смесью. Как видно на рисунке, точки связывания гемоглобина с кислородом, отнесенные к P_{AO_2} , в условиях дыхания воздухом располагались ниже и вправо от зоны идеальных кривых связывания гемоглобина с кислородом, что указы-

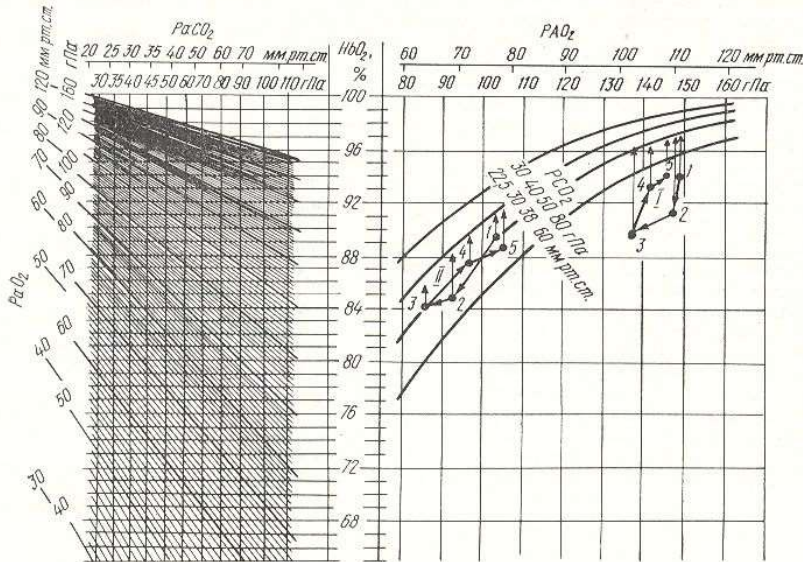


Рис. 2. Номограмма для расчета S_{aO_2} по P_{aO_2} и P_{aco_2} (слева); оценка эффективности внутрилегочного газообмена с помощью номограммы (справа), отражающей взаимоотношения S_{aO_2} и P_{AO_2} в покое, при мышечной работе мощностью 1,22 Вт/кг и в восстановительном периоде в условиях дыхания воздухом (P_{O_2} — 211 гПа или 159 мм рт. ст.) и гипоксической смесью (P_{O_2} — 133 гПа или 100 мм рт. ст.). Кривые Баркрофта, построенные для разных P_{CO_2} использованы как контрольные, соответствующие идеальным условиям газообмена в легких.

Точки S_{aO_2} , отнесенные к P_{AO_2} , и величины ΔP_{aao_2} (обозначены стрелками): 1 — в покое; 2 — на 3-й, 3 — на 12-й мин мышечной работы; 4 — на 3-й, 5 — на 12-й мин восстановления. I — дыхание воздухом, II — дыхание гипоксической смесью. Средние данные.

вает на существенное снижение эффективности внутрилегочного газообмена. При дыхании гипоксической смесью точки S_{aO_2} резко смещались влево и вниз и располагались в центре зоны идеальных кривых связывания гемоглобина с кислородом по линии диссоциации оксигемоглобина, соответствующей $P_{CO_2}=53$ Па или 40 мм рт. ст. Такая тенденция точек к смещению в покое на разных этапах работы и восстановления при переходе на гипоксическую смесь указывает на резкое повышение эффективности внутрилегочного газообмена при гипоксии.

Представлялось также важным выяснить информативность такого критерия внутрилегочного газообмена, как ΔP_{aao_2} . По нашему мнению данный показатель представляет несомненную ценность, он легко рассчитывается и вносит количественный элемент в исследования. Ценность данного показателя резко возрастает, если его использовать в графическом сопоставлении с величиной S_{aO_2} , отнесенными к соответствующим величинам P_{AO_2} и P_{aco_2} (P_{aco_2}). Смещение S_{aO_2} вниз и вправо от кривых Баркрофта хорошо коррелирует с увеличением ΔP_{aao_2} и, наоборот, смещение точек в сторону идеальных кривых, расцениваемое как улучшение эффективности газообмена, сочетается с уменьшением ΔP_{aao_2} (рис. 2). Сочетанное использование при оценке эффективности внутрилегочного газообмена двух показателей S_{aO_2} и ΔP_{aao_2} имеет и то преимущество, что для каждого исследования находится своя идеальная кривая связывания гемоглобина с кислородом, соответствующая